



Active Learning for Open-set Annotation

Kun-Peng Ning^{1*} Xun Zhao^{2†} Yu Li^{3*} Sheng-Jun Huang^{1†}

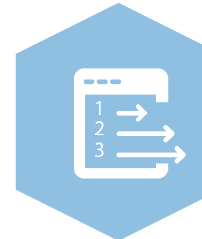
¹Nanjing University of Aeronautics and Astronautics

²Applied Research Center, Tencent PCG ³International Digital Economy Academy (IDEA)

{ningkp,huangsj}@nuaa.edu.cn emmaxunzhao@tencent.com liyu@idea.edu.cn

汇报人：蒋明忠

时间：2025.11



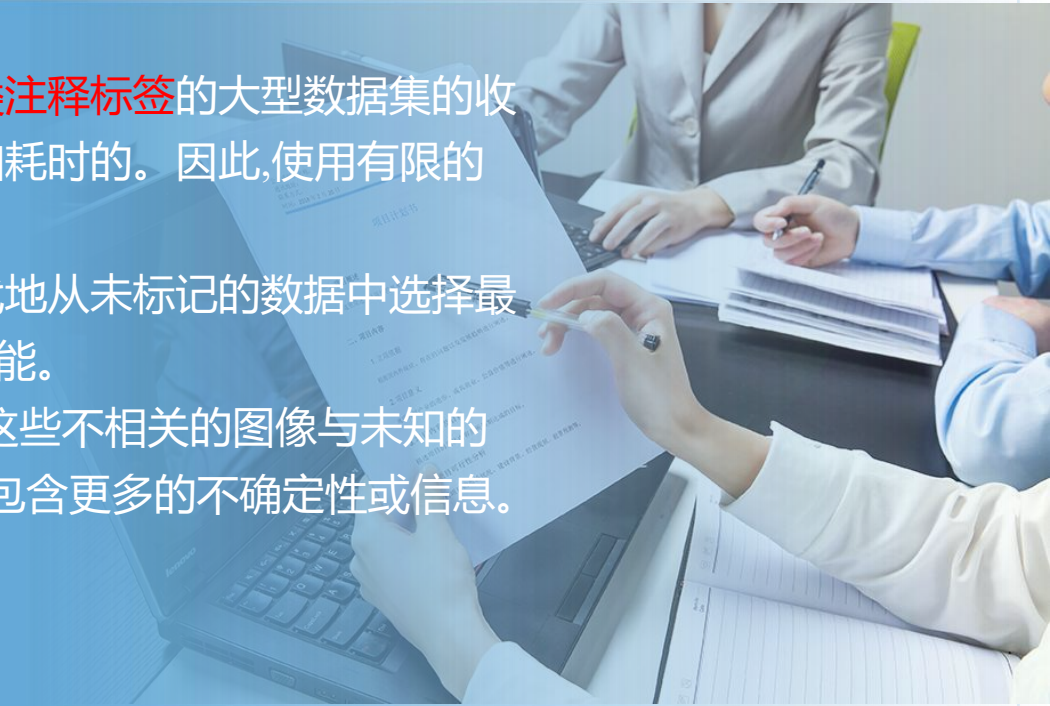


Background

深度学习的显著成功在很大程度上归功于具有**人类注释标签**的大型数据集的收集。然而,用高质量的注释标记大规模数据是非常昂贵和耗时的。因此,使用有限的标记数据进行学习是一个重大的挑战。

主动学习(AL)是解决这一问题的主要方法,它迭代地从未标记的数据中选择最有用的例子,在降低标注成本的同时实现有竞争力的性能。

但是对于开集,现有的**闭集AL系统**无法准确地将这些不相关的图像与未知的类别区分开来,而是倾向于选择它们进行标注,因为它们包含更多的不确定性或信息。



Background



现有的主动学习研究通常在**闭集**环境下工作假设所有要标记的数据样本都来自**已知**的类。然而,在真实的标注任务中,未标注的数据通常包含大量来自未知类的示例,导致大多数主动学习方法失败。

在本文中,我们将这个问题表述为一个**开集标注** (open-set annotation, OSA)任务。如图所示,未标记集 包含 K 个已知类和 L 个未知类,其中 $L>K$ 。目标是精确地从未知类中过滤出样本,同时主动选择一个包含已知类样本的查询集,尽可能纯净。

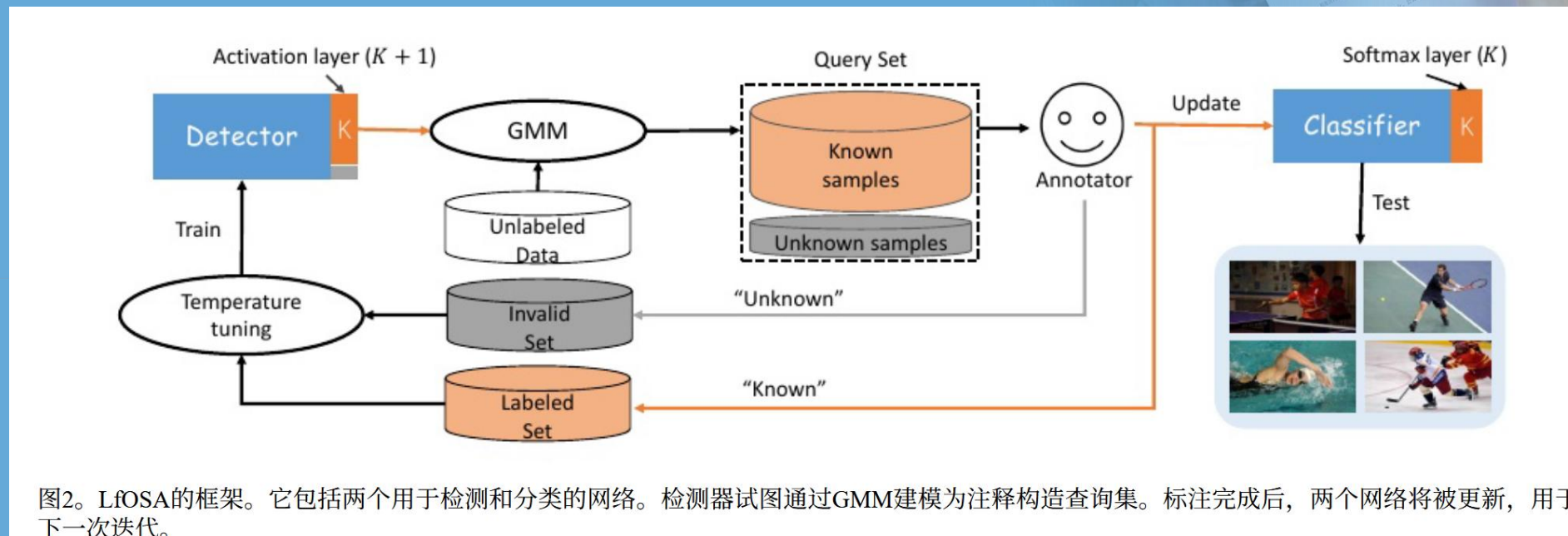


Method



LfOSA包括两个分别用于检测和分类的网络。具体来说,检测器使用高斯混合模型对每类最大激活值(MAV)分布建模,将未标记的开放集动态划分为已知和未知集,然后从已知集中选择具有较大确定性的样本构建用于标注的查询集。标记完成后,分类模型将使用来自已知类的新样本进行更新。同时,由于查询集不可避免地会包含一些未知类的无效样例,这些无效样例将被用作负训练样例来更新检测器。

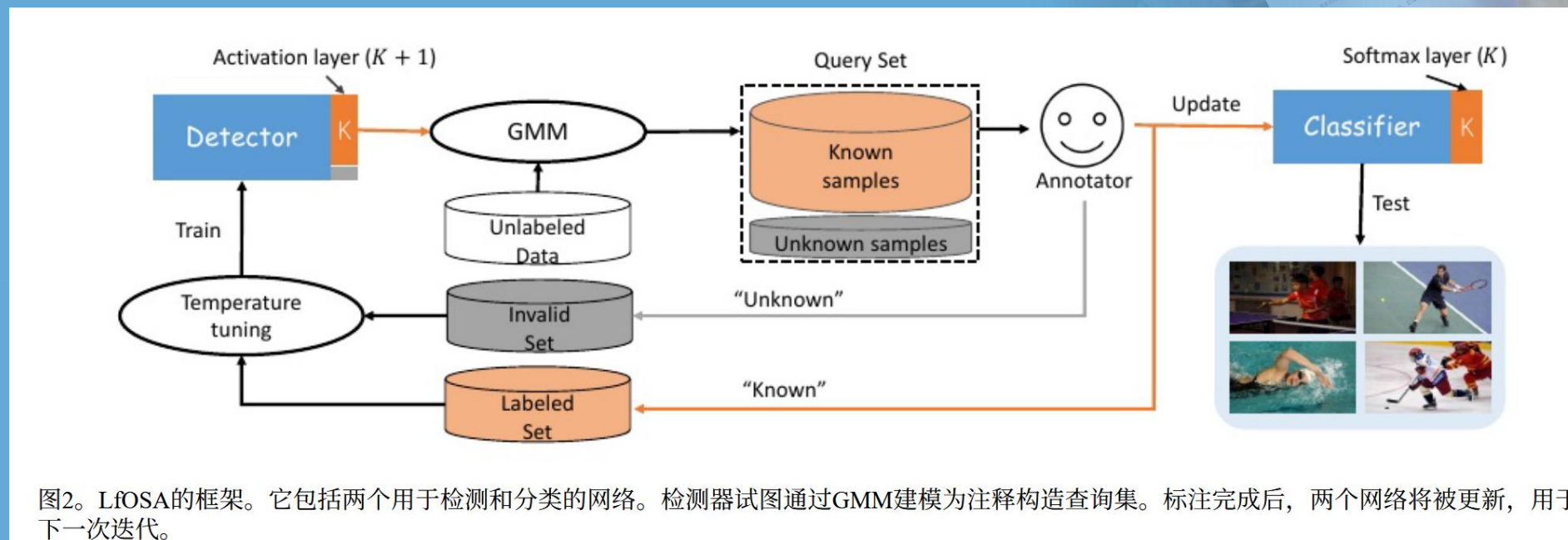
此外,通过降低交叉熵(CE)损失的温度T,进一步增强检测器的可分辨性。



Method



检测器训练、主动采样和分类器训练三部分组成。具体来说,我们首先在使用**低温机制**的同时,通过利用已知和未知监督来训练一个用于**检测未知示例**的网络。然后,通过使用高斯混合模型(**GMM**)建模每个类的最大激活值(MAV)分布,可以主动选择最确定的已知示例进行注释。最后,分类模型将使用来自已知类的**新样本**进行更新。



Method



检测器训练:

检测器是一个 $(K + 1)$ -way 分类网络，训练数据包括：

- **正样本**: 初始已标注集 \mathcal{D}_L (仅含已知类)；
- **负样本**: 无效集 \mathcal{D}_I (历史查询中被发现的未知类样本)。

损失函数（低温交叉熵）：

$$\mathcal{L}_D(x, c) = - \sum_{c=1}^{K+1} p_c \log(q_c^T)$$

其中：

- p_c 是 one-hot 标签 (已知类标签为对应位置 1, 未知类标签为第 $K + 1$ 位为 1)；
- $q_c^T = \frac{\exp(a_c/T)}{\sum_j \exp(a_j/T)}$ 是温度 T 调节后的 softmax；
- **关键设置**: $T = 0.5 < 1$ (低温)。

$$\frac{\partial \mathcal{L}_D}{\partial a_c} = \frac{1}{T} (q_c^T - p_c) = \frac{1}{T} \left(\frac{\exp(a_c/T)}{\sum_j \exp(a_j/T)} - p_c \right). \quad (4)$$

$$T \downarrow \Rightarrow \frac{1}{T} \uparrow, \frac{\exp(a_c/T)}{\sum_j \exp(a_j/T)} - p_c \uparrow \Rightarrow \frac{\partial \mathcal{L}_D}{\partial a_c} \uparrow.$$



Method



检测器训练：

✓ 对于正确类 ($c = y$) :

- $\frac{\partial \mathcal{L}_D}{\partial a_y} = \frac{1}{T}(q_y^T - 1) < 0$
- 梯度绝对值变大 → 在 SGD 更新中, a_y 增加更多;
- 即: 模型更强烈地“拉高”正确类的激活值。

✓ 对于错误类 ($c \neq y$) :

- $\frac{\partial \mathcal{L}_D}{\partial a_c} = \frac{1}{T}(q_c^T - 0) > 0$
- 梯度变大 → a_c 被压得更低;
- 即: 模型更强烈地“压制”错误类的激活值。

👉 所以, 梯度变大 → 正确类 logit 上升更快, 错误类下降更快 → 分布更尖锐。

$$\frac{\partial \mathcal{L}_D}{\partial a_c} = \frac{1}{T}(q_c^T - p_c) = \frac{1}{T}\left(\frac{\exp(a_c/T)}{\sum_j \exp(a_j/T)} - p_c\right). \quad (4)$$

$$T \downarrow \Rightarrow \frac{1}{T} \uparrow, \frac{\exp(a_c/T)}{\sum_j \exp(a_j/T)} - p_c \uparrow \Rightarrow \frac{\partial \mathcal{L}_D}{\partial a_c} \uparrow.$$



Method



主动采样:

如上所示 对检测器进行训练后,我们发现网络的激活层 (就是取最大的 logits) 具有区分未知样例的能力,即未知类样例的最大激活值(MAV)往往与已知类样例的平均MAV存在显著差异。

$$mav_i^c = \max_c a_c^i.$$

第一句：“根据当前检测器的预测，将所有未标记的样例分为 $K + 1$ 个类。”

- 检测器输出 $K + 1$ 维 logits;
- 使用 argmax 得到预测类别 $\hat{y}_i \in \{1, 2, \dots, K + 1\}$;
- 所以每个样本被分配到一个“预测类”;
- 其中:
 - $\hat{y}_i \leq K \rightarrow$ 预测为某个已知类;
 - $\hat{y}_i = K + 1 \rightarrow$ 预测为“未知”。

💡 目标：从这些“预测为已知类”的样本中，选出真正属于已知类的高质量样本进行标注。

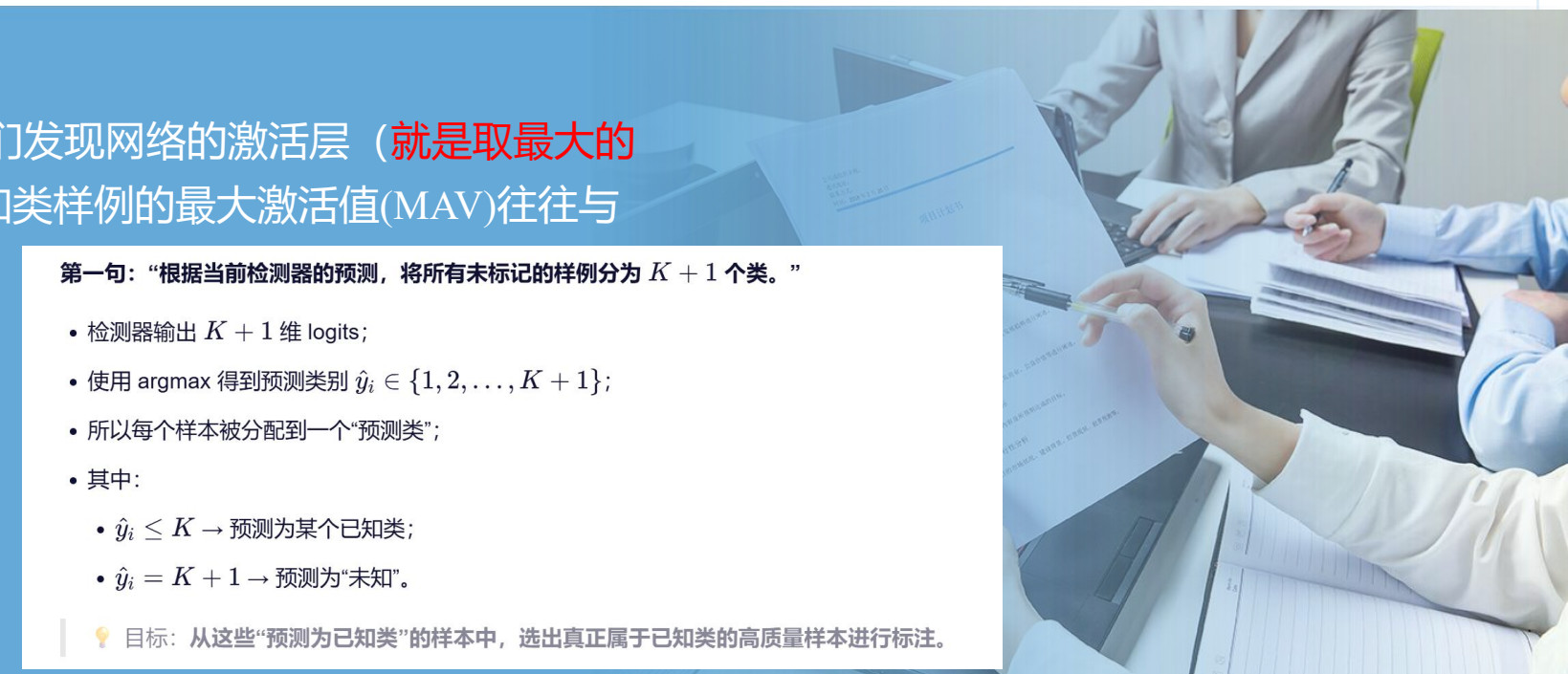
- **过滤：**只保留那些预测为 $\hat{y}_i \in \{1, \dots, K\}$ 的样本;
- 这些样本被认为是“可能属于已知类”的候选;
- 不考虑预测为“未知”的样本 (因为它们可能是新类, 不参与本轮标注) 。

✓ 筛选后得到一个集合： $\mathcal{X}_{\text{known-predicted}}$

$$\mathcal{W}^c = GMM(mav^c, \theta_D), \quad (6)$$

$$\mathcal{W} = sort(\mathcal{W}^1 \cup \mathcal{W}^2 \cup \dots \cup \mathcal{W}^K). \quad (7)$$

$$X^{query} = \{(x_i, w_i) | w_i \geq \tau, \forall (x_i, w_i) \in (D_U, \mathcal{W})\}. \quad (8)$$



Method



分类器训练:

基于当前标注的数据 D_L , 我们通过最小化标准交叉熵损失来训练k类分

类器

$$\mathcal{L}_C(x_i, y_i) = - \sum_{i=1}^{n^L} y_i * \log(f(x_i; \theta_C)), \quad (9)$$

| 步骤 | 目标 | 方法 |
|--------|---------------|-----------------------|
| 检测器训练 | 学会区分已知/未知 | 使用 D_L 和 D_I 联合训练 |
| MAV 计算 | 量化模型置信度 | 取前 K 类 logit 的最大值 |
| GMM 建模 | 区分“真已知”和“伪已知” | 双分量 GMM 拟合 MAV 分布 |
| 概率排序 | 优先标注高质量样本 | 按 w_i 排序, 选 top-b |
| 分类器训练 | 提升已知类精度 | 仅用 D_L 训练标准分类器 |

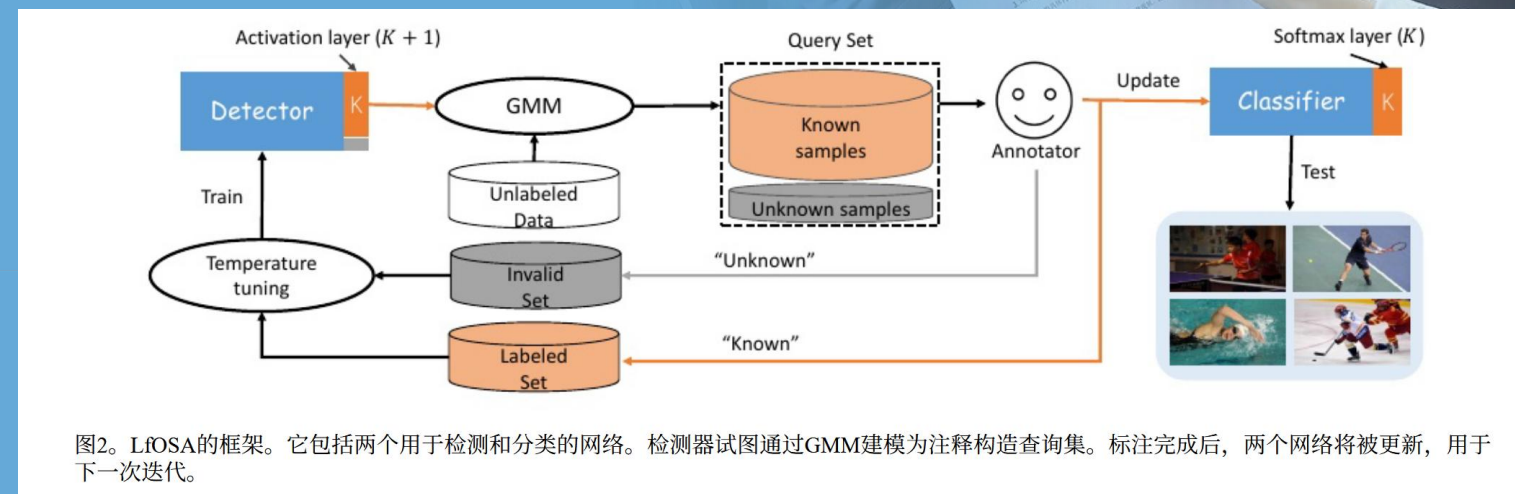


图2。LfOSA的框架。它包括两个用于检测和分类的网络。检测器试图通过GMM建模为注释构造查询集。标注完成后, 两个网络将被更新, 用于下一次迭代。

Experiments



为了验证该方法的有效性,我们在CIFAR10、CIFAR100和Tiny-Imagenet数据集上进行了实验,这些数据集分别包含10个、100个和200个类别。为了构建开集数据集,我们将所有实验的错配率分别设置为20%、30%和40%,其中错配率表示已知类别数量占总类别数量的比例。例如,当不匹配率设置为20%时,在CIFAR10、CIFAR100和Tiny-Imagenet上,前2、20、40个类分别被视为分类器训练的已知类,后8、80、160个类分别被视为未知类。

| 维度 | CIFAR-10 | CIFAR-100 | Tiny-ImageNet |
|-------|-----------------|-----------------------------------|--------------------------|
| 语义粒度 | 粗粒度 (如“猫”、“车”) | 细粒度 (如“枫树” vs “橡树”, “海狸” vs “松鼠”) | 更细粒度 (200 个 ImageNet 子类) |
| 类间相似性 | 较低 (类别差异大) | 较高 (易混淆, 如不同鸟类) | 高 (许多动物/物体外观接近) |
| 图像分辨率 | 极低 (32×32) | 极低 (32×32) | 较低 (64×64), 但仍比 CIFAR 清晰 |
| 数据多样性 | 有限 (简单背景、小目标) | 更丰富 (但受限于分辨率) | 更真实 (来自 ImageNet, 含复杂背景) |
| 任务难度 | 简单 (闭集准确率 >95%) | 中等 (~75–80%) | 较难 (~60–70%) |



Experiments



第*i*次选择中已知类的查全率和查准率可以定义为:

$$recall_i = \frac{\sum_{j=0}^i k^i}{n_{kno}}, \quad (1)$$

$$precision_i = \frac{k_i}{k_i + l_i}, \quad (2)$$

| 方法 | 是否考虑未知类? | 主要策略 | 开放集适用性 | 缺点 |
|-------------|----------|-------------------|--------|------------------------|
| Random | ✗ | 随机 | 差 | 效率低 |
| Uncertainty | ✗ | 选最不确定 | 差 | 易选未知类 |
| Certainty | ⚠ (隐式) | 选最确定 | 中 | 可能 overconfident, 缺乏探索 |
| Coreset | ✗ | 选多样本 | 差 | 会选代表性未知类 |
| BALD | ✗ | 贝叶斯不确定性 | 中 | 计算贵, 仍可能选未知类 |
| OpenMax | ✓ | 开集识别 + 过滤 | 好 | 未结合主动学习信息量 |
| LiFOSA | ✓ ✓ | GMM 建模 MAV + 概率排序 | 优秀 | 实现稍复杂 |



Experiments



南京航空航天大學
NANJING UNIVERSITY OF AERONAUTICS AND ASTRONAUTICS

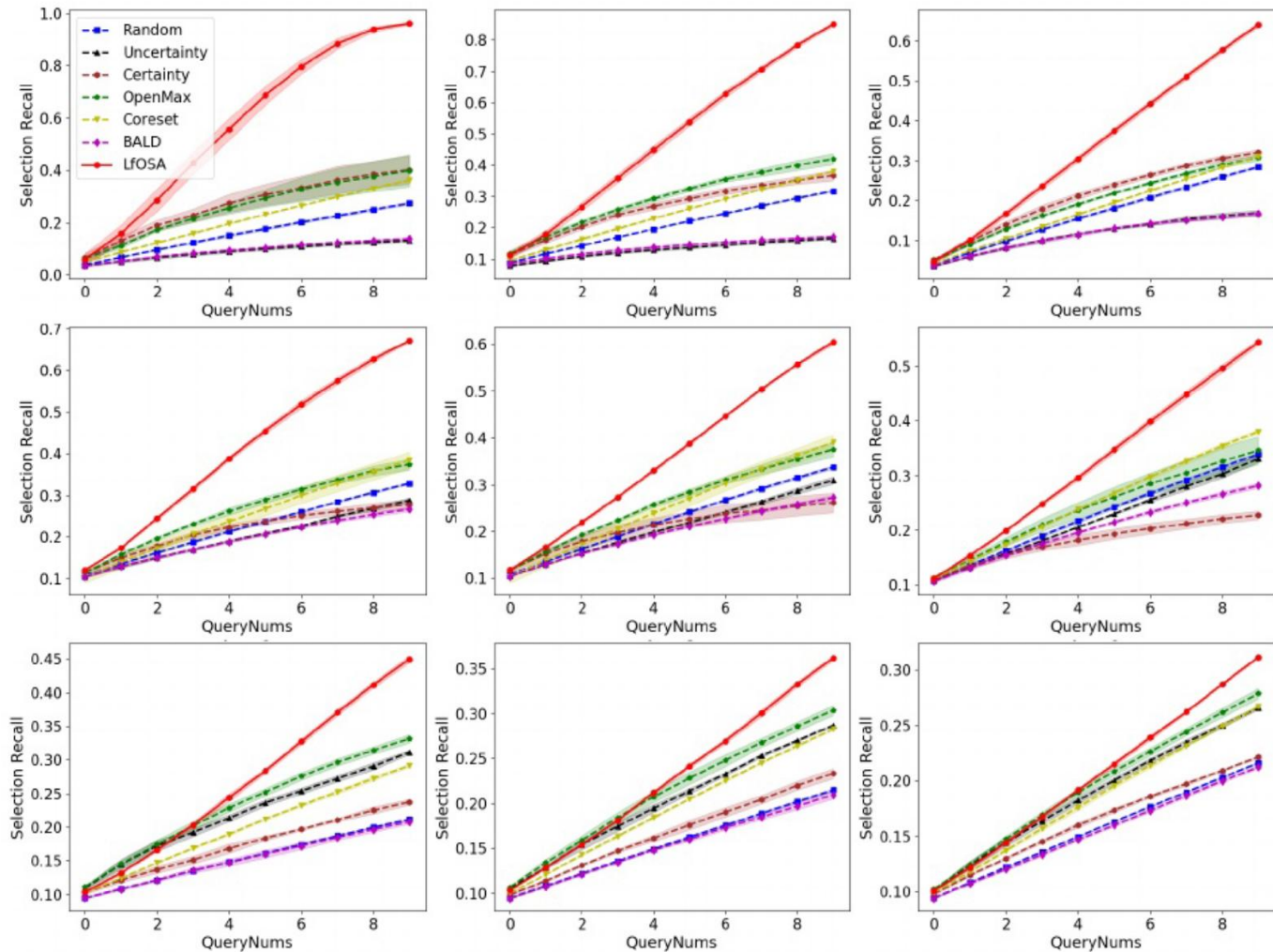
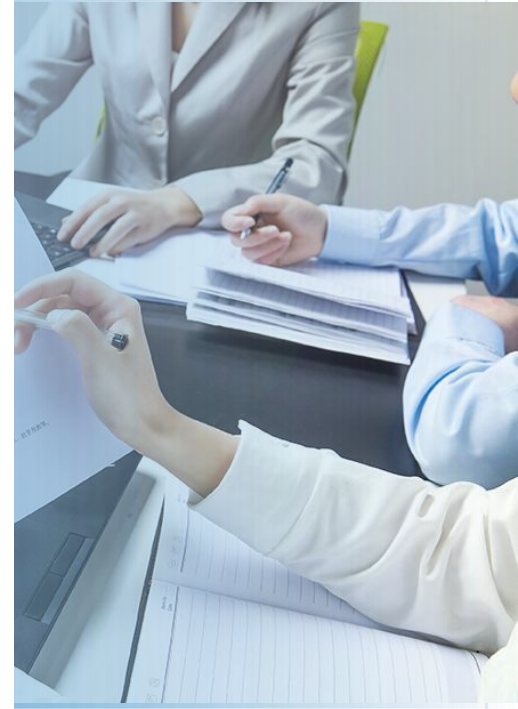


图3。CIFAR10(第一行)、CIFAR100(第二行)和Tiny-Imagenet(第三行)上20%(第一列)、30%(第二列)和40%(第三列)错配率的选择召回比较。



Experiments



南京航空航天大學
NANJING UNIVERSITY OF AERONAUTICS AND ASTRONAUTICS

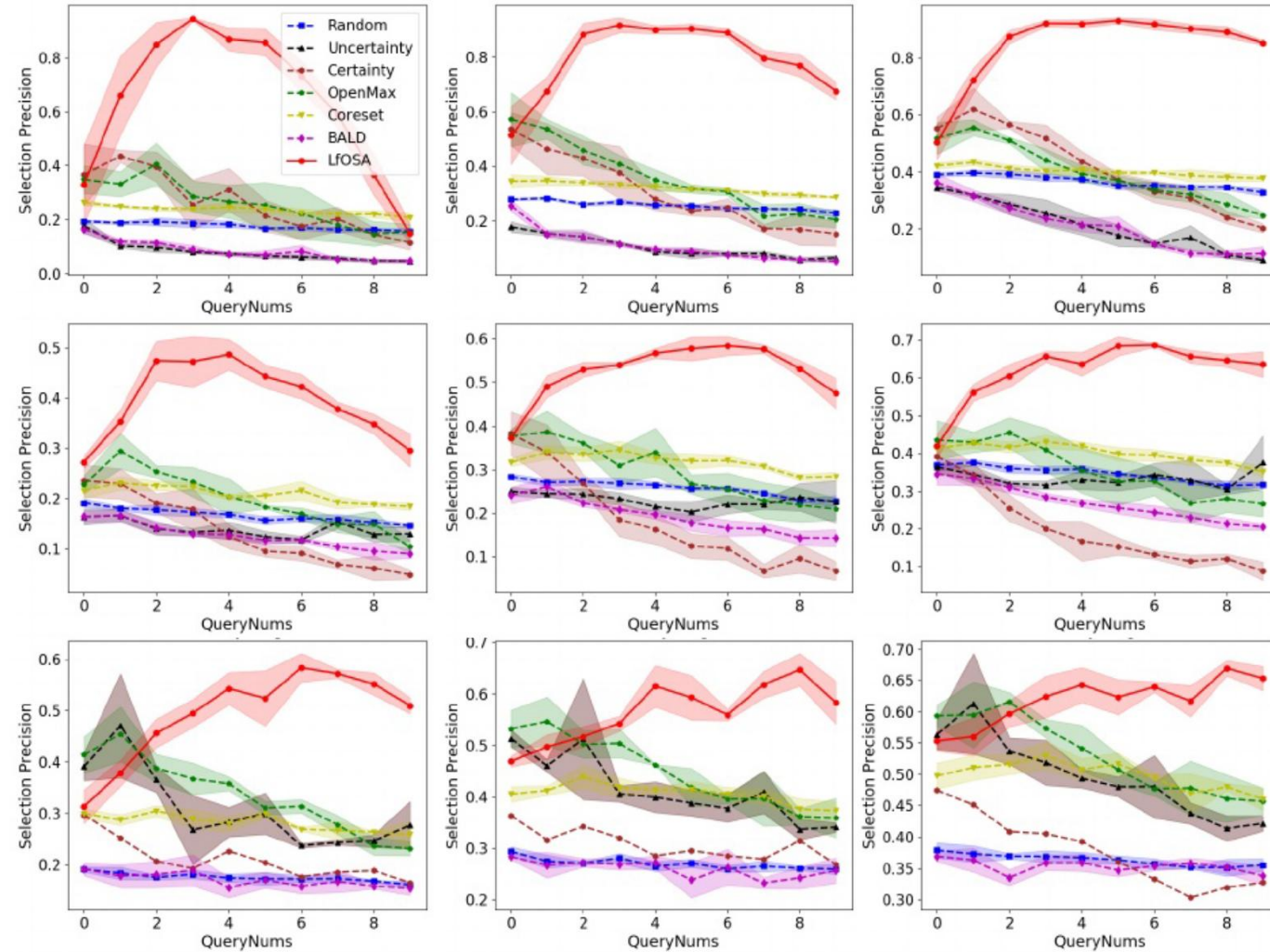


图4。CIFAR10(第一行)、CIFAR100(第二行)和Tiny-Imagenett(第三行)在20%(第一列)、30%(第二列)和40%(第三列)错配率下的选择精度比较。



Experiments



南京航空航天大學
NANJING UNIVERSITY OF AERONAUTICS AND ASTRONAUTICS

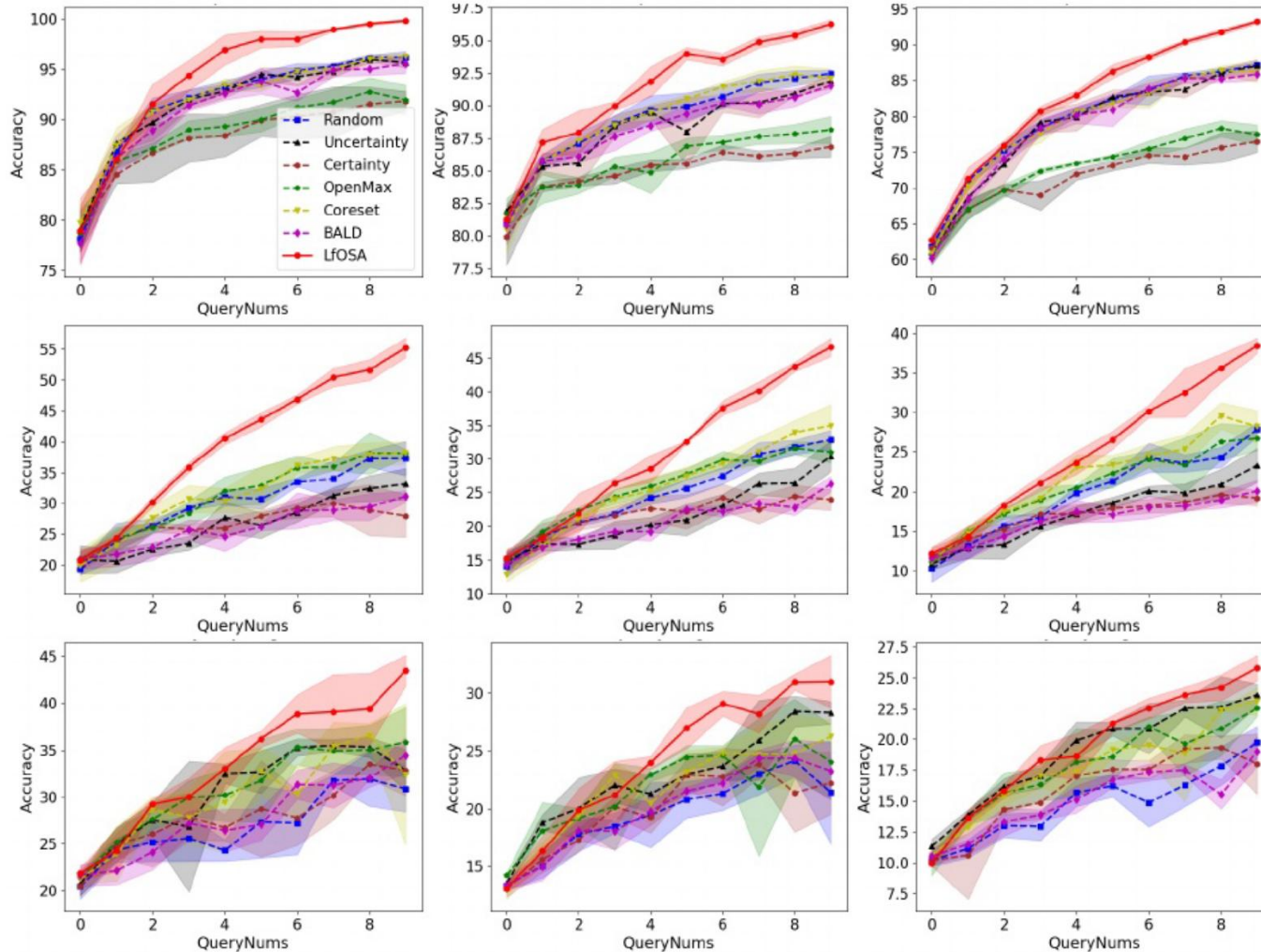


图5。CIFAR10(第一行)、CIFAR100(第二行)和Tiny-Imagenet(第三行)在20%(第一列)、30%(第二列)和40%(第三列)错配率下的分类性能比较。



Experiments

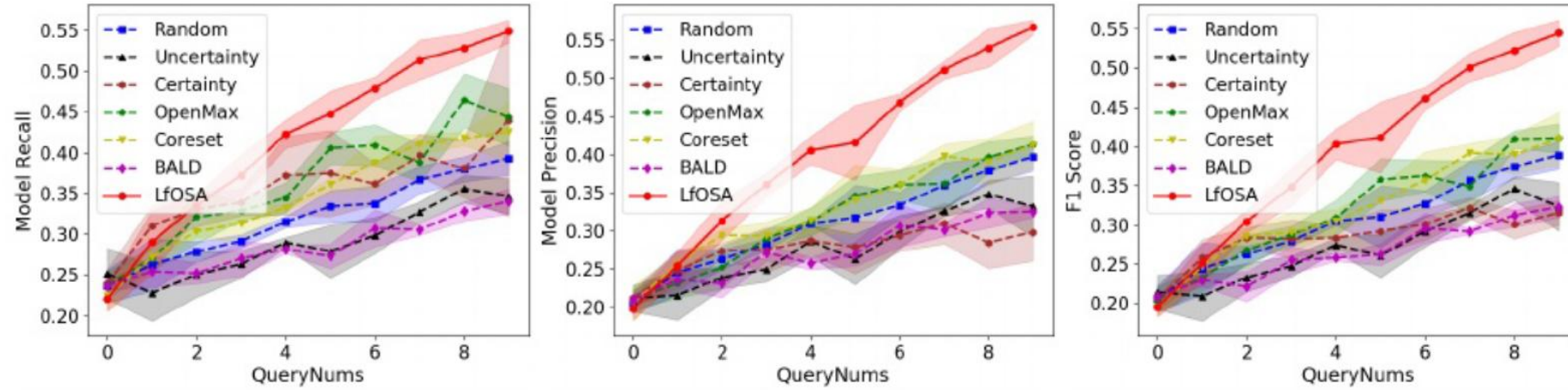


图6. 分类查全率(第一列)、查准率(第二列)、F1(第三列)在20%错配率CIFAR100上的性能比较。

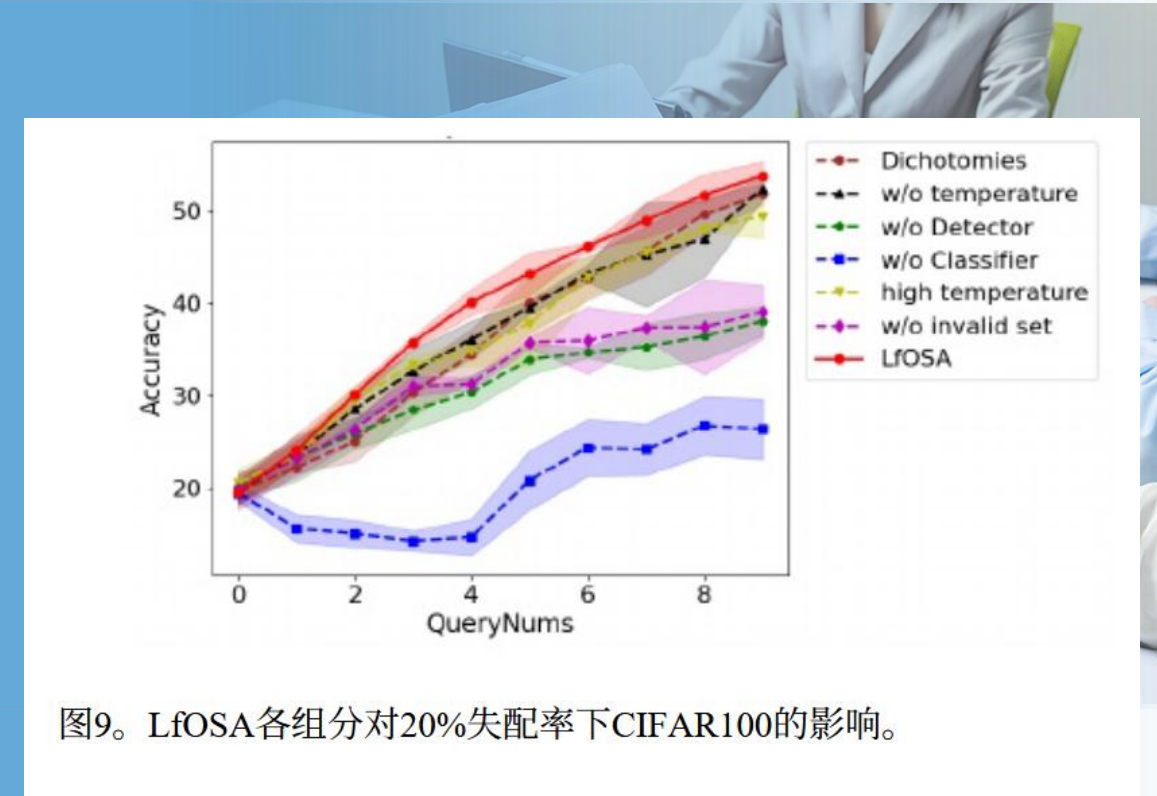
表1。时间复杂度的比较。

| Random | Certainty | Openmax | Coreset | BALD | LfOSA |
|--------|-----------|---------|---------|------|-------|
| ~ 0s | 23s | 29s | 165s | 182s | 26s |

Experiments



| 变体 | 含义 | 性能影响 |
|---------------------------|--|----------------------|
| ✓ LfOSA (红色实线) | 完整方法: 检测器 + 分类器 + GMM + 低温 softmax + 无效集训练 | ✓ 最优性能, 全程领先 |
| ✗ w/o Detector (绿色虚线) | 不使用检测器, 直接用分类器做开放集识别 | ⬇ 显著下降 → 检测器不可替代 |
| ✗ w/o Classifier (蓝色虚线) | 不使用分类器, 只用检测器输出做分类 | ⬇ 大幅下降 → 分类器是必需的 |
| ✗ w/o invalid set (紫色菱形) | 检测器训练时不使用无效集 D_I | ⬇ 中等下降 → 无效集提供关键监督信号 |
| ✗ high temperature (黄色虚线) | 温度 $T = 2$ (softmax 更平滑) | ⬇ 下降 → 高温削弱判别力 |
| ✗ w/o temperature (黑色三角) | 温度 $T = 1$ (标准 softmax) | ⬇ 下降 → 低温增强判别性 |
| ✗ Dichotomies (棕色方块) | 用二分类 (known/unknown) 代替多类检测器 | ⬇ 下降 → 多类建模更优 |





Thanks

